

通过锌催化区域选择性氧化反应实现 3-烯-1-炔的 1,4-官能团化

郑人华^{*,a} 郭海昌^a 阳明洋^b 刘梦琪^b 叶龙武^{*,b}

(^a台州学院医药化工与材料工程学院 台州 318000)

(^b厦门大学化学化工学院 厦门 361005)

摘要 γ -羟基或烷氧基取代的 α,β -不饱和羰基化合物广泛存在于众多天然产物和生物活性分子之中。通过锌催化的区域选择性的氮氧化合物氧化炔烃反应，实现了 3-烯-1-炔的 4-烷氧化-1-氧化官能团化。该串联反应可以中等到良好的产率得到系列合成上很有用的 γ -烷氧基取代的 α,β -不饱和酰胺化合物。

关键词 氧化反应；1,4-官能团化；炔烃；串联反应

1,4-Functionalization of 3-En-1-yne s with Alcohols via Zinc-Catalyzed Regioselective N-Oxide Oxidation

Zheng, Renhua^{*,a} Guo, Haichang^a Yang, Mingyang^b Liu, Mengqi^b Ye, Longwu^{*,b}

(^a School of Pharmaceutical and Materials Engineering, Taizhou University, Taizhou 318000)

(^b College of Chemistry and Chemical Engineering, Xiamen University, Xiamen 361005)

Abstract γ -Hydroxyl or γ -alkoxyl-substituted α,β -unsaturated carbonyls widely exist in a variety of natural products and bioactive molecules. Herein, the realization of 1,4-functionalization of 3-en-1-yne s with alcohols through zinc-catalyzed regioselective *N*-oxide oxidation is described. This tandem reaction allows the practical synthesis of a range of valuable γ -alkoxyl-substituted- α,β -unsaturated amides in moderate to good yields.

Keywords oxidation; 1,4-functionalization; alkynes; tandem reaction

γ -羟基或烷氧基取代的 α,β -不饱和羰基化合物是一类应用广泛的羰基化合物，存在于多种天然产物和生物活性分子之中(图 1)^[1]。此外，该类化合物可进一步化学转化，合成得到系列官能团化的羰基化合物^[2]。因此， γ -羟基或烷氧基取代的 α,β -不饱和羰基化合物的合成研究也受到了较多关注。但是，目前制备该类 α,β -不饱和羰基化合物的方法还非常有限，且往往效率低下、步骤繁琐^[3]。因此，发展新的有效的合成 γ -羟基或烷氧基取代的 α,β -不饱和羰基化合物的方法具有重要的理论和现实意义。

2014 年，Liu 小组^[4]发现，当使用 5 mol% Zn(OTf)₂ 作为催化剂，10 mol% 吡啶作为碱，2 equiv. 的 Selectfluor 作为氧化剂时，3-烯-1-炔底物可方便转化成相应的 γ -羟基取代的 α,β -不饱和酰胺化合物(图 2a)。但是，该反应

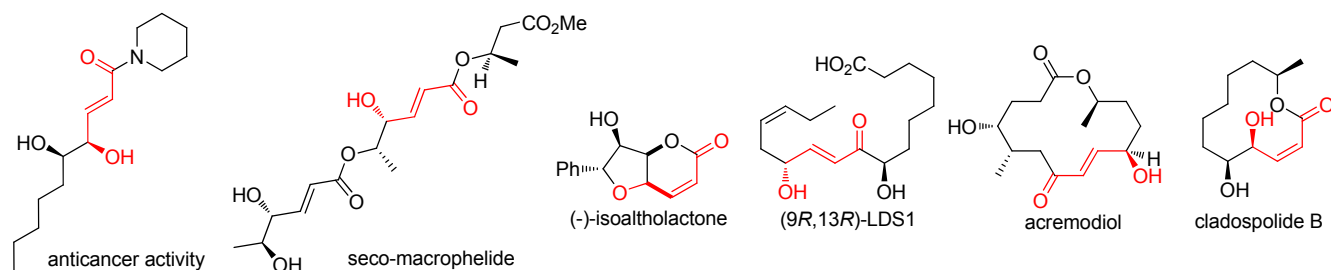
不足之处是反应过程中总会伴随着少量 1,4-二羰基化合物的生成。在本课题组之前对炔酰胺化学的研究工作中^[5,6]，我们实现了一系列廉价金属如锌、铜、钪等催化的炔酰胺氧化反应^[7,8]引发的串联反应^[9]，从而发展了一系列高效的炔酰胺的氧官能团化反应。但是，上述氧官能团化反应目前仅局限于 1,2-双官能团化，尚未有相应的 1,4-氧官能团化反应报道。受上述研究工作的启发，为了进一步拓宽该类廉价金属催化炔酰胺氧化反应的应用，我们设想使用来源易得的 3-烯-1-炔类化合物与各种醇反应，将有望实现基于该类烯炔的 1,4-氧官能团化反应，进而得到 γ -烷氧基取代的 α,β -不饱和酰胺化合物，为制备相关结构的功能分子提供一种更为绿色简洁的方法(图 2b)。

* Corresponding authors. E-mail: zhengrh@tzc.edu.cn; longwuye@xmu.edu.cn

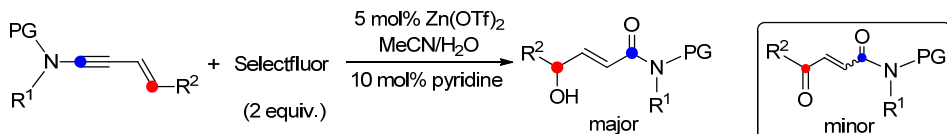
Received March 25, 2019; revised April 24, 2019; published online May 6, 2019.

Project supported by the Zhejiang Provincial Public Welfare Technology Research Program (No. LGG19B040001), the Taizhou Science and Technology Project (No. 1801gy21), the National Natural Science Foundation of China (Nos. 21572186, 21622204) and the Program for Changjiang Scholars and Innovative Research Team in University (PCSIRT).

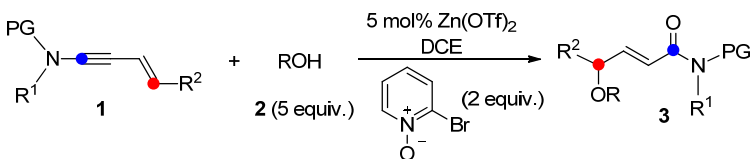
浙江省公益技术应用研究计划(No. LGG19B040001)、台州市科技计划(No. 1801gy21)、国家自然科学基金(Nos. 21572186, 21622204)和教育部创新团队资助项目。

图 1 存在于生物活性分子中的 γ -羟基或烷氧基取代的 α,β -不饱和羰基化合物Figure 1 γ -Hydroxyl or γ -alkoxy-substituted α,β -unsaturated carbonyls in bioactive molecules

(a) Hydrative oxidation by Selectfluor: 4-hydroxy-1-oxo functionalizations (Rai-Shung Liu)



(b) Oxidation by N-oxide in the presence of alcohols: 4-alkoxy-1-oxo functionalizations (this work)

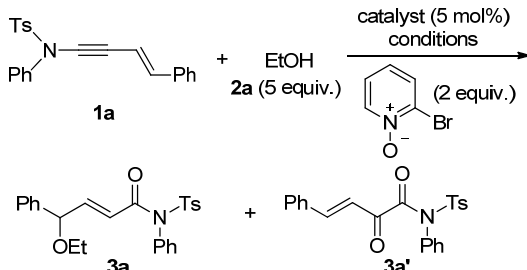
图 2 区域选择性的 3-烯 1-炔的 1,4-官能团化反应
Figure 2 Regioselective 1,4-functionalization of 3-en-1-ynes

1 结果与讨论

1.1 反应条件优化

0.1 mmol 炔酰胺 **1a**, 0.5 mmol 乙醇 **2a**, 0.2 mmol 2-溴吡啶氮氧和 0.05 mmol $\text{PPh}_3\text{AuNTf}_2$ 在 2 mL 1,2-二氯乙烷(DCE)中反应, 用薄层色谱(TLC)监控反应, 80 °C 搅拌反应 3 h 后, 原料反应完全。通过核磁共振氢谱内标分析反应体系发现目标产物 **3a** 产率 66%, 副产物 **3a'** 产率 22%(表 1, Entry 1)。用上述投料比, 以炔酰胺 **1a** 为模型底物, 进行反应条件的优化, 炔酰胺 **1a** 在不同条件下的反应结果见表 1。

研究发现, 当使用其他金催化剂如 IPrAuNTf_2 时, 也能得到产物 **3a**, 但副产物 **3a'** 产率有所上升(表 1, Entry 2)。接着, 使用不同的廉价金属催化剂, 发现使用 $\text{Cu}(\text{OTf})_2$ 、 $\text{Fe}(\text{OTf})_2$ 、 $\text{Zn}(\text{OTf})_2$ 和 $\text{Sc}(\text{OTf})_3$ 作为催化剂时反应也都能得到产物 **3a**, 并且几乎不产生过氧化副产物 **3a'**(表 1, Entries 3~6), 其中使用 $\text{Zn}(\text{OTf})_2$ 作为催化剂时产率最高, 可达 72%(表 1, Entry 5)。另外, 不同的反应溶剂如甲苯和氯苯(表 1, Entry 7, Entry 8), 发现产率都会显著下降。需要指出的是, 当把乙醇的用量减少至 2 equiv. 时, 该类反应也能较好进行, 产率稍有下降(表 1, Entry 9)。特别是, 该类反应在 40 °C 下也能进行, 产率几乎不变, 只是反应时间会大大延长(表 1, Entry 10)。

表 1 反应条件优化^a
Table 1 Optimization of reaction conditions

Entry	Catalyst	Condition	Yield ^b /%	
			3a	3a'
1	$\text{Ph}_3\text{PAuNTf}_2$	DCE, 80 °C, 3 h	66	22
2	IPrAuNTf_2	DCE, 80 °C, 3 h	51	29
3	$\text{Cu}(\text{OTf})_2$	DCE, 80 °C, 3 h	56	<1
4	$\text{Fe}(\text{OTf})_2$	DCE, 80 °C, 3 h	57	<1
5	$\text{Zn}(\text{OTf})_2$	DCE, 80 °C, 3 h	72	<1
6	$\text{Sc}(\text{OTf})_3$	DCE, 80 °C, 3 h	59	<1
7	$\text{Zn}(\text{OTf})_2$	Toluene, 80 °C, 3 h	57	<1
8	$\text{Zn}(\text{OTf})_2$	PhCl , 80 °C, 3 h	54	<1
9 ^c	$\text{Zn}(\text{OTf})_2$	DCE, 80 °C, 3 h	60	<1
10	$\text{Zn}(\text{OTf})_2$	DCE, 40 °C, 8 h	70	<1

^a Reaction run in vials; [1a]=0.05 mol/L. ^b Measured by ¹H NMR using diethyl phthalate as the internal standard. ^c 2 equiv. of EtOH was used.

通过上述的条件优化, 最终确定了该反应的最优条件是: 2-溴吡啶氮氧(2 equiv.)为氧化剂, 溶剂为 1,2-二氯

乙烷, $Zn(OTf)_2$ (5 mol%) 为催化剂, 反应温度 80 °C, 反应时间为 3 h (表 1, Entry 5).

1.2 反应适用性研究

在最优化的反应条件下, 对该区域选择性的氮氧化合物氧化炔烃反应的普适性进行了研究。如表 2 所示, 各种取代的 α,β -不饱和炔酰胺底物都能很好地进行该反应, 以中等到良好的产率得到相应的 γ -烷氧基取代的 α,β -不饱和羰基化合物(59%~83%)。首先, α,β -不饱和炔酰胺 N 上各种不同的保护基对反应体系都表现出良好的兼容性(表 2, Entries 1~3)。对于 R 基团, 无论是苯基还是正丁基, 底物几乎都能以中等的产率转化成相应的目标产物 3a 和 3d(表 2, Entries 1, 4), 但是当 R 基团为正丁基时产率略低。进一步考察 Ar 基团, 当在苯环的对位, 供电子的甲基取代时, 产率明显上升(表 2, Entry 5); 而若是吸电子的氯原子取代, 对反应的结果差异很小, 能以相当的产率得到所需产物 3f(表 2, Entry 6)。需要指出的是, 当炔酰胺底物 1 中的 Ar 基团改为脂肪基时, 反应产率明显降低(核磁产率<20%)。

接下来, 对该分子间反应的醇类底物普适性也进行了研究。如表 3 所示, 各种具有典型意义的醇类底物都能顺利地进行反应, 均能以较高的产率得到相应的 γ -烷氧基取代的 α,β -不饱和羰基化合物(68%~86%)。对于简单醇, 不论是直链或带支链的脂肪醇, 底物几乎都能以较高的产率转化成目标产物 3g~3k(表 3, Entries 1~5)。值得一提的是, 当使用二级醇参与该反应时, 也能以 80% 的产率得到相应的产物 3l(表 3, Entry 6)。进一步

考察带有不同官能团的醇的反应, 如含有苯基、对甲氧基苯基、炔基、TMS、氟原子和环丙基, 发现该反应体系对其均有良好的兼容性, 且都能以较高的产率得到所需的产物 3m~3t(表 3, Entries 7~14)。最后, 利用二元醇进行反应, 在最佳条件下, 也能分别以 72% 和 80% 的产率得到单取代的产物 3u~3v(表 3, Entries 15, 16), 进一步表明该反应对没有保护的羟基也能很好的兼容。至此, 该类廉价金属催化烯炔的 1,4-氧官能团化反应为 γ -烷氧基取代的 α,β -不饱和酰胺化合物的合成提供了一条简洁而高效的合成路径。最后, 还需要指出的是, 当使用胺(如苯胺或苄胺)或酰胺(如 $TsNH_2$)取代醇时, 该类反应产率很低(核磁产率<20%), 进一步的优化正在进行之中。

该类 γ -烷氧基取代的 α,β -不饱和羰基化合物很容易通过一步简单的化学转化, 得到各种脱保护的 γ -烷氧基或 γ -羟基取代的 α,β -不饱和羰基化合物。比如, 化合物 3c 与 Bu_3SnH 回流反应脱除甲基磺酸基, 可得到相应的合成上有用的 α,β -不饱和单取代酰胺 3ca; 化合物 3n 与 2,3-二氯-5,6-二氯对苯醌(DDQ)室温反应可脱除甲氧基保护基, 以 83% 产率得到 γ -羟基取代的 α,β -不饱和羰基化合物 3na (图 3)。

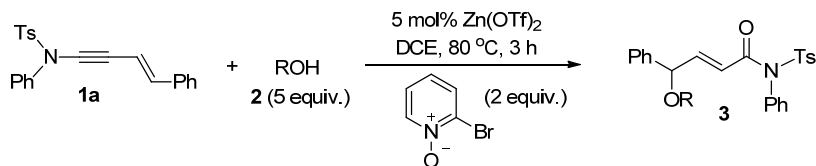
最后, 基于之前在炔酰胺氧化反应的系列研究结果^[6], 我们提出了该类反应的可能机理, 如图 4 所示。首先, 氧化剂 2-溴吡啶氮氧进攻 $Zn(OTf)_2$ 活化的炔酰胺底物 A 得到烯基锌中间体 B, 该中间体再经分子间的 S_N2' 进攻^[9]得到 α 位锌取代的酰胺中间体 C。中间体 C 再经

表 2 反应范围^a
Table 2 Reaction scope

Entry	Product	Yield/%	Entry	Product	Yield/%
1		65	4		59
2		63	5		83
3		64	6		66

^a Reactions run in vials; isolated yields are reported.

表 3 反应范围^a
Table 3 Reaction scope



Entry	Product	Yield/%	Entry	Product	Yield/%
1		73	9		80
2		78	10		78
3		83	11		76
4		72	12		68
5		84	13		70
6		80	14		86
7		81	15		72
8		70	16		80

^a Reactions run in vials; isolated yields are reported.

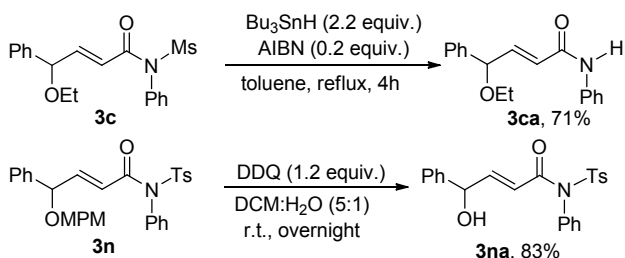


图 3 产物的进一步衍生化

Figure 3 Product elaboration

质子化脱金属，得到最终的 γ -烷氧基取代的 α,β -不饱和

酰胺 3a，同时产生锌催化剂，进入下一个反应循环。

2 结论

综上所述，成功实现了具有挑战性的锌催化区域选择性氧化 3-烯-1-炔的 1,4-官能团化反应，以中等到良好的产率得到了各种官能团化的 γ -烷氧基取代的 α,β -不饱和羰基化合物。特别是，该类反应利用简单的无机盐 $Zn(OTf)_2$ 作为催化剂，从而避免使用价格昂贵的贵金属催化剂。此外，该反应还具有底物普适性广、官能团兼容性好、操作简单等优点，为构建十分有用的 γ -羟基或

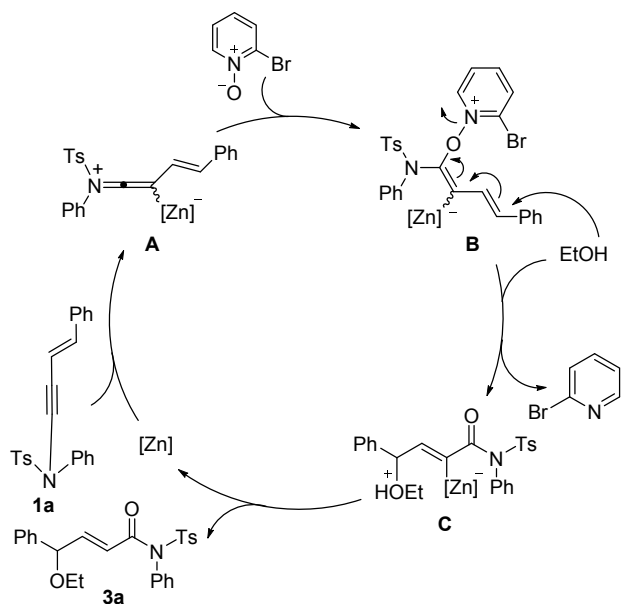


图 4 可能的反应机理

Figure 4 Plausible reaction mechanism

烷氧基取代的 α,β -不饱和羰基化合物提供了一种有效、简洁的合成方法。

3 实验部分

3.1 仪器与试剂

^1H NMR 和 ^{13}C NMR(内标为 TMS, 溶剂为 CDCl_3) 使用 Bruker AV-400 或 Bruker AV-500 型核磁共振仪测定; MS 使用 ESI-QTOF 型高分辨质谱仪测定。锌催化剂以及反应原料均购自安耐吉、阿拉丁、阿达玛斯等公司, 所有药品和试剂均为分析纯。

3.2 实验方法

3.2.1 化合物 3a~3v 的合成

室温条件下, 在 10 mL 的圆底烧瓶中依次加入 0.2 mmol 烷酰胺 1, 1.0 mmol 醇 2, 0.4 mmol 2-溴吡啶氮氧化物, 0.01 mmol $\text{Zn}(\text{OTf})_2$ 和 4 mL 1,2-二氯乙烷, 混合均匀后于 80 °C 反应 3 h。反应结束后减压旋去溶剂, 得到浅黄色油状物, 混合物再经柱层析 [$V(\text{乙酸乙酯}) : V(\text{石油醚}) = 20 : 1 \sim 10 : 1$] 分离提纯得目标产物酰胺 3a~3v。

(E)-4-乙氧基-N,N-二苯基-4-(对甲苯磺酰基)丁-2-烯酰胺(3a): 淡黄色油状物。 ^1H NMR (400 MHz, CDCl_3) δ : 7.90 (d, $J=8.4$ Hz, 2H), 7.51~7.45 (m, 3H), 7.31 (d, $J=8.4$ Hz, 2H), 7.26~7.22 (m, 5H), 7.10~7.07 (m, 2H), 6.91 (dd, $J=5.2, 15.2$ Hz, 1H), 5.73 (dd, $J=1.2, 15.2$ Hz, 1H), 4.67 (dd, $J=1.2, 15.2$ Hz, 1H), 3.32~3.22 (m, 2H), 2.43 (s, 3H), 1.02 (t, $J=6.8$ Hz, 3H); ^{13}C NMR (100 MHz, CDCl_3) δ : 165.0, 148.6, 144.8, 138.9, 136.1, 136.0, 130.3, 129.3, 129.2, 128.5, 126.8, 120.6, 80.5, 64.4, 21.6, 15.0; IR (neat) v : 3358, 2962, 2922, 2852, 1691, 1594, 1482, 1451, 1358, 1260, 1154, 1087, 1027, 798; HRESIMS calcd for $\text{C}_{25}\text{H}_{25}\text{NNaO}_4\text{S} [\text{M}+\text{Na}^+]$ 458.1397, found 458.1395。

(E)-4-乙氧基-N-[(4-甲氧基苯基)磺酰基]-N,N-二苯基丁-2-烯酰胺(3b): 淡黄色油状物。 ^1H NMR (400 MHz, CDCl_3) δ : 7.98~7.93 (m, 2H), 7.51~7.45 (m, 3H), 7.31~7.20 (m, 5H), 7.10~7.07 (m, 2H), 7.00~6.95 (m, 2H), 6.91 (dd, $J=5.2, 15.2$ Hz, 1H), 5.73 (dd, $J=1.6, 15.2$ Hz, 1H), 4.68 (d, $J=5.2$ Hz, 1H), 3.87 (s, 3H), 3.33~3.22 (m, 2H), 1.02 (t, $J=7.2$ Hz, 3H); ^{13}C NMR (100 MHz, CDCl_3) δ : 164.9, 163.8, 148.5, 138.9, 136.0, 131.5, 130.3, 129.8, 129.6, 128.5, 128.0, 126.8, 120.7, 113.8, 80.4, 64.3, 55.6, 14.9; IR (neat) v : 3445, 2915, 2848, 1674, 1647, 1485, 1356, 1263, 1164, 1079, 815; HRESIMS calcd for $\text{C}_{25}\text{H}_{25}\text{NNaO}_5\text{S} (\text{M}+\text{Na}^+)$ 474.1346, found 474.1345。

(E)-4-乙氧基-N-(甲磺酰基)-N,N-二苯基丁-2-烯酰胺(3c): 淡黄色油状物。 ^1H NMR (400 MHz, CDCl_3) δ : 7.50~7.45 (m, 3H), 7.32~7.25 (m, 5H), 7.14 (dd, $J=1.6, 7.6$ Hz, 2H), 7.07 (dd, $J=5.2, 15.2$ Hz, 1H), 5.79 (dd, $J=1.6, 15.2$ Hz, 1H), 4.76 (d, $J=5.2$ Hz, 1H), 3.45 (s, 3H), 3.25~3.26 (m, 2H), 1.04 (t, $J=6.8$ Hz, 3H); ^{13}C NMR (100 MHz, CDCl_3) δ : 166.1, 149.4, 138.7, 135.1, 130.0, 129.9, 129.8, 128.6, 126.9, 120.2, 80.5, 64.4, 41.8, 15.0; IR (neat) v : 3450, 2974, 2928, 1687, 1640, 1593, 1490, 1454, 1320, 1279, 1155, 964; HRESIMS calcd for $\text{C}_{19}\text{H}_{21}\text{NNaO}_4\text{S} [\text{M}+\text{Na}^+]$ 382.1083, found 382.1089。

(E)-N-叔丁基-4-乙氧基-4-苯基-N-对甲苯磺酰基丁-2-烯酰胺(3d): 淡黄色油状物。 ^1H NMR (400 MHz, CDCl_3) δ : 7.72 (d, $J=8.4$ Hz, 2H), 7.35~7.20 (m, 7H), 6.90~6.86 (m, 2H), 4.87 (d, $J=4.0$ Hz, 1H), 3.83 (t, $J=7.6$ Hz, 2H), 3.48~3.39 (m, 2H), 2.41 (s, 3H), 1.75~1.66 (m, 2H), 1.42~1.31 (m, 2H), 1.22 (t, $J=6.8$ Hz, 3H), 0.94 (t, $J=7.6$ Hz, 3H); ^{13}C NMR (100 MHz, CDCl_3) δ : 165.4, 148.5, 144.5, 139.1, 137.0, 129.6, 128.5, 128.0, 127.5, 127.0, 120.6, 80.6, 64.4, 46.5, 32.1, 21.5, 19.9, 15.2, 13.6; IR (neat) v : 3443, 2960, 2925, 1682, 1634, 1355, 1280, 1165, 1084, 826; HRESIMS calcd for $\text{C}_{23}\text{H}_{29}\text{NNaO}_4\text{S} [\text{M}+\text{Na}^+]$ 438.1710, found 438.1719。

(E)-4-乙氧基-N-苯基-4-(对甲苯基)-N-对甲苯磺酰基丁-2-烯酰胺(3e): 淡黄色油状物。 ^1H NMR (400 MHz, CDCl_3) δ : 7.90 (d, $J=8.0$ Hz, 2H), 7.53~7.45 (m, 3H), 7.31 (d, $J=8.4$ Hz, 2H), 7.26~7.23 (m, 2H), 7.06 (d, $J=8.0$ Hz, 2H), 6.97 (d, $J=8.0$ Hz, 2H), 6.90 (dd, $J=5.2, 15.2$ Hz, 1H), 5.72 (dd, $J=0.8, 15.2$ Hz, 1H), 4.64 (d, $J=5.2$ Hz, 1H), 3.31~3.19 (m, 2H), 2.43 (s, 3H), 2.29 (s,

3H), 1.01 (t, $J=6.8$ Hz, 3H); ^{13}C NMR (100 MHz, CDCl_3) δ : 164.9, 148.7, 144.7, 137.8, 136.0, 135.9, 135.8, 130.3, 129.7, 129.5, 129.2, 129.1, 126.8, 120.4, 80.2, 64.1, 21.6, 21.0, 14.9; IR (neat) ν : 3443, 2974, 2925, 1692, 1639, 1488, 1364, 1174, 1161, 1088, 913, 814; HRESIMS calcd for $\text{C}_{26}\text{H}_{27}\text{NNaO}_4\text{S} [\text{M}+\text{Na}^+]$ 472.1553, found 472.1550.

(E)-4-(4-氯苯基)-4-乙氧基-N-苯基-N-对甲苯磺酰基丁-2-烯酰胺(**3f**): 淡黄色油状物. ^1H NMR (400 MHz, CDCl_3) δ : 7.89 (d, 2H, $J=8.0$ Hz), 7.55~7.44 (m, 3H), 7.39~7.31 (m, 2H), 7.30~7.20 (m, 4H), 7.02 (d, $J=8.4$ Hz, 2H), 6.85 (dd, $J=5.2$, 15.2 Hz, 1H), 5.70 (dd, $J=1.2$, 15.2 Hz, 1H), 4.65 (d, $J=4.8$ Hz, 1H), 3.31~3.21 (m, 2H), 2.43 (s, 3H), 1.01 (t, $J=7.2$ Hz, 3H); ^{13}C NMR (100 MHz, CDCl_3) δ : 164.7, 147.9, 144.9, 137.4, 135.9, 135.8, 133.8, 130.2, 129.8, 129.6, 129.3, 129.1, 128.6, 128.1, 121.1, 79.6, 64.4, 21.6, 14.9; IR (neat) ν : 3445, 2974, 2926, 1691, 1641, 1596, 1488, 1454, 1364, 1162, 1088, 1015, 932, 912, 813; HRESIMS calcd for $\text{C}_{25}\text{H}_{24}\text{ClNNaO}_4\text{S} [\text{M}+\text{Na}^+]$ 492.1007, found 492.1018.

(E)-4-甲氧基-N,4-二苯基-N-对甲苯磺酰基丁-2-烯酰胺(**3g**): 淡黄色油状物. ^1H NMR (400 MHz, CDCl_3) δ : 7.89 (d, $J=8.0$ Hz, 2H), 7.53~7.45 (m, 3H), 7.32~7.20 (m, 7H), 7.09~7.06 (m, 2H), 6.90 (dd, $J=5.2$, 15.2 Hz, 1H), 5.74 (dd, $J=1.2$, 15.2 Hz, 1H), 4.57 (dd, $J=0.8$, 5.2 Hz, 1H), 3.12 (s, 3H), 2.42 (s, 3H); ^{13}C NMR (100 MHz, CDCl_3) δ : 164.9, 148.2, 144.8, 138.3, 136.0, 135.8, 129.6, 129.3, 129.2, 128.6, 120.6, 82.2, 56.5, 21.6; IR (neat) ν : 3446, 3063, 2929, 2825, 1690, 1639, 1597, 1488, 1454, 1362, 1162, 1088, 980, 896, 813; HRESIMS calcd for $\text{C}_{24}\text{H}_{23}\text{NNaO}_4\text{S} [\text{M}+\text{Na}^+]$ 444.1240, found 444.1238.

(E)-4-丁氧基-N,4-二苯基-N-对甲苯磺酰基丁-2-烯酰胺(**3h**): 淡黄色油状物. ^1H NMR (400 MHz, CDCl_3) δ : 7.91 (d, $J=8.4$ Hz, 2H), 7.53~7.47 (m, 3H), 7.31 (d, $J=8.4$ Hz, 2H), 7.27~7.22 (m, 5H), 7.08 (d, $J=8.0$ Hz, 2H), 6.90 (dd, $J=4.8$, 15.2 Hz, 1H), 5.76 (dd, $J=1.6$, 15.2 Hz, 1H), 4.67 (d, $J=4.8$ Hz, 1H), 3.25~3.15 (m, 2H), 2.42 (s, 3H), 1.40~1.33 (m, 2H), 1.21~1.12 (m, 2H), 0.80 (t, 3H, $J=7.2$ Hz); ^{13}C NMR (100 MHz, CDCl_3) δ : 165.0, 148.8, 144.8, 138.9, 136.0, 135.9, 130.3, 129.3, 129.2, 128.5, 126.8, 120.3, 80.5, 68.6, 31.6, 21.6, 19.2, 13.8; IR (neat) ν : 3443, 2960, 2925, 2853, 1682, 1634, 1355, 1280, 1165, 1084; HRESIMS calcd for $\text{C}_{27}\text{H}_{29}\text{NNaO}_4\text{S} [\text{M}+\text{Na}^+]$ 486.1710, found 486.1713.

(E)-4-异丁氧基-N,4-二苯基-N-对甲苯磺酰基丁-2-烯酰胺(**3i**): 淡黄色油状物. ^1H NMR (400 MHz, CDCl_3)

δ : 7.91 (d, $J=8.4$ Hz, 2H), 7.52~7.46 (m, 3H), 7.31 (d, $J=8.4$ Hz, 2H), 7.28~7.23 (m, 5H), 7.09~7.06 (m, 2H), 6.90 (dd, $J=4.8$, 15.2 Hz, 1H), 5.78 (dd, $J=1.6$, 15.2 Hz, 1H), 4.66 (dd, $J=1.6$, 4.8 Hz, 1H), 3.01~2.92 (m, 2H), 2.42 (s, 3H), 1.71~1.61 (m, 1H), 0.71 (t, $J=6.4$ Hz, 6H); ^{13}C NMR (100 MHz, CDCl_3) δ : 165.0, 148.8, 144.8, 138.9, 136.1, 136.0, 130.3, 129.3, 129.2, 128.5, 126.8, 120.1, 80.5, 75.5, 28.5, 21.6, 19.1, 19.0; IR (neat) ν : 3445, 2956, 2923, 1689, 1639, 1482, 1462, 1372, 1280, 1155, 1086; HRESIMS calcd for $\text{C}_{27}\text{H}_{29}\text{NNaO}_4\text{S} [\text{M}+\text{Na}^+]$ 486.1710, found 486.1705.

(E)-4-异丙氧基-N,4-二苯基-N-对甲苯磺酰基丁-2-烯酰胺(**3j**): 淡黄色油状物. ^1H NMR (400 MHz, CDCl_3) δ : 7.91 (d, $J=8.4$ Hz, 2H), 7.52~7.45 (m, 3H), 7.31 (d, $J=8.0$ Hz, 2H), 7.27~7.19 (m, 5H), 7.10~7.08 (m, 2H), 6.92 (dd, $J=5.2$, 15.2 Hz, 1H), 5.74 (dd, $J=1.6$, 15.2 Hz, 1H), 4.80 (t, $J=4.0$ Hz, 1H), 3.45~3.38 (m, 1H), 2.43 (s, 3H), 0.98 (d, $J=6.0$ Hz, 3H), 0.93 (d, 3H, $J=6.0$ Hz); ^{13}C NMR (100 MHz, CDCl_3) δ : 165.0, 149.3, 144.8, 139.4, 136.0, 130.3, 129.3, 129.2, 128.5, 126.8, 120.4, 77.7, 69.7, 22.2, 21.9, 21.6; IR (neat) ν : 3447, 2918, 2843, 1684, 1635, 1488, 1363, 1275, 1161, 1088, 913; HRESIMS calcd for $\text{C}_{26}\text{H}_{27}\text{NNaO}_4\text{S} [\text{M}+\text{Na}^+]$ 472.1553, found 472.1561.

(E)-4-苯乙氧基-N,4-二苯基-N-对甲苯磺酰基丁-2-烯酰胺(**3k**): 淡黄色油状物. ^1H NMR (400 MHz, CDCl_3) δ : 7.95 (d, $J=8.4$ Hz, 2H), 7.58~7.48 (m, 3H), 7.38~7.20 (m, 10H), 7.07~7.02 (m, 4H), 6.92 (dd, $J=5.2$, 15.2 Hz, 1H), 5.80 (d, $J=15.2$ Hz, 1H), 4.71 (d, $J=4.8$ Hz, 1H), 3.45 (t, $J=6.8$ Hz, 2H), 2.74 (t, $J=6.8$ Hz, 2H), 2.46 (s, 3H); ^{13}C NMR (100 MHz, CDCl_3) δ : 164.8, 148.4, 144.7, 138.6, 138.4, 135.9, 135.8, 130.2, 129.7, 129.5, 129.2, 129.1, 128.7, 128.4, 128.1, 127.9, 126.7, 126.0, 120.2, 80.5, 69.5, 36.1, 21.5; IR (neat) ν : 3443, 3062, 2921, 2853, 1691, 1639, 1597, 1488, 1453, 1363, 1174, 1162, 1088, 913, 809; HRESIMS calcd for $\text{C}_{31}\text{H}_{29}\text{NNaO}_4\text{S} [\text{M}+\text{Na}^+]$ 534.1710, found 534.1712.

(E)-4-环己氧基-N,4-二苯基-N-对甲苯磺酰基丁-2-烯酰胺(**3l**): 淡黄色油状物. ^1H NMR (400 MHz, CDCl_3) δ : 7.91 (d, $J=8.4$ Hz, 2H), 7.50~7.45 (m, 3H), 7.31 (d, $J=8.0$ Hz, 2H), 7.27~7.21 (m, 5H), 7.11~7.09 (m, 2H), 6.92 (dd, $J=4.4$, 14.8 Hz, 1H), 5.78 (dd, $J=1.6$, 15.2 Hz, 1H), 4.86 (dd, $J=1.2$, 4.8 Hz, 1H), 3.13~3.08 (m, 1H), 2.43 (s, 3H), 1.69~1.58 (m, 1H), 1.54~1.36 (m, 4H), 1.21~1.05 (m, 5H); ^{13}C NMR (100 MHz, CDCl_3) δ : 165.1, 149.5, 144.8, 139.5, 136.1, 130.3, 129.3, 129.2,

128.5, 126.8, 120.3, 75.2, 32.2, 31.6, 25.6, 23.6, 23.5, 21.6; IR (neat) ν : 3438, 2929, 2852, 2691, 1639, 1448, 1364, 1280, 1174, 1161, 1088, 814; HRESIMS calcd for $C_{29}H_{31}NNaO_4S$ [M+Na⁺] 512.1866, found 512.1867.

(E)-4-(苄基氧基)-N,4-二苯基-N-对甲苯磺酰基丁-2-烯酰胺(**3m**): 淡黄色油状物. ¹H NMR (400 MHz, CDCl₃) δ : 7.90 (d, $J=8.4$ Hz, 2H), 7.53~7.49 (m, 2H), 7.31~7.19 (m, 11H), 7.10~7.06 (m, 2H), 7.05~7.03 (m, 2H), 6.92 (dd, $J=5.2$, 15.2 Hz, 1H), 5.85 (dd, $J=1.6$, 15.2 Hz, 1H), 4.77 (dd, 1H, $J=1.6$ Hz, $J=5.2$ Hz), 4.33 (m, 2H), 2.43 (s, 3H); ¹³C NMR (100 MHz, CDCl₃) δ : 164.9, 148.2, 144.8, 138.2, 137.6, 135.9, 130.3, 129.8, 129.6, 129.3, 129.1, 128.6, 128.2, 127.5, 127.1, 126.9, 120.7, 79.4, 70.0, 21.6; IR (neat) ν : 3365, 2919, 2849, 1689, 1630, 1597, 1493, 1451, 1358, 1154, 1089; HRESIMS calcd for $C_{30}H_{27}NNaO_4S$ [M+Na⁺] 520.1553, found 520.1552.

(E)-4-[(4-甲氧基苄基)氧基]-N,4-二苯基-N-对甲苯磺酰基丁-2-烯酰胺(**3n**): 淡黄色油状物. ¹H NMR (400 MHz, CDCl₃) δ : 7.90 (d, $J=8.4$ Hz, 2H), 7.54~7.46 (m, 3H), 7.31~7.20 (m, 7H), 7.11~7.08 (m, 2H), 6.98 (d, $J=8.8$ Hz, 2H), 6.92 (dd, $J=4.8$, 15.2 Hz, 1H), 6.78 (d, $J=8.4$ Hz, 2H), 5.82 (dd, $J=1.6$, 15.2 Hz, 1H), 4.74 (dd, $J=1.2$, 4.8 Hz, 1H), 4.25 (d, $J=11.6$ Hz, 1H), 4.29 (d, $J=12.0$ Hz, 1H), 3.77 (s, 3H), 2.41(s, 3H); ¹³C NMR (100 MHz, CDCl₃) δ : 164.9, 159.0, 148.3, 144.8, 138.8, 135.9, 130.3, 129.8, 129.6, 129.5, 129.3, 129.1, 128.8, 128.5, 128.1, 126.9, 120.7, 79.0, 69.7, 55.1, 21.5; IR (neat) ν : 3436, 3003, 2932, 1691, 1611, 1531, 1488, 1362, 1247, 1173, 1087, 1032, 814; HRESIMS calcd for $C_{31}H_{29}NNaO_5S$ [M+Na⁺] 550.1659, found 550.1655.

(E)-4-(丁-3-烯基氧基)-N,4-二苯基-N-对甲苯磺酰基丁-2-烯酰胺(**3o**): 淡黄色油状物. ¹H NMR (400 MHz, CDCl₃) δ : 7.90 (d, $J=8.0$ Hz, 2H), 7.53~7.45 (m, 3H), 7.31 (d, $J=8.4$ Hz, 2H), 7.26~7.22 (m, 5H), 7.09~7.06 (m, 2H), 6.90 (dd, 1H, $J=4.8$, 15.2 Hz), 5.76 (dd, $J=1.6$, 15.2 Hz, 1H), 5.65~5.55 (m, 1H), 4.95~4.90 (m, 2H), 4.68 (dd, $J=1.2$, 4.8 Hz, 1H), 3.30~3.20 (m, 2H), 2.42 (s, 3H), 2.16~2.11 (m, 2H); ¹³C NMR (100 MHz, CDCl₃) δ : 165.0, 148.5, 144.8, 134.8, 130.3, 129.8, 129.6, 129.3, 129.2, 128.5, 128.1, 126.8, 120.3, 116.4, 80.5, 68.1, 34.0, 21.6; IR (neat) ν : 3389, 3067, 2920, 1692, 1641, 1596, 1488, 1364, 1187, 1174, 1162, 1119, 1088, 983, 814; HRESIMS calcd for $C_{27}H_{27}NNaO_4S$ [M+Na⁺] 484.1553, found 484.1550.

(E)-4-烯丙氧基-N-(甲基磺酰基)-N,4-二苯基丁-2-烯

酰胺(**3p**): 淡黄色油状物. ¹H NMR (400 MHz, CDCl₃) δ : 7.90 (d, 2H, $J=8.4$ Hz), 7.51~7.45 (m, 3H), 7.31 (d, 2H, $J=8.4$ Hz), 7.28~7.22 (m, 5H), 7.10~7.07 (m, 2H), 6.91 (dd, 1H, $J=5.2$ Hz, $J=15.2$ Hz), 5.78 (dd, 1H, $J=2.0$ Hz, $J=15.2$ Hz), 5.75~5.65 (m, 1H), 5.06 (dd, 1H, $J=1.2$ Hz, $J=15.2$ Hz), 5.04~5.01 (m, 1H), 4.75 (dd, 1H, $J=1.2$ Hz, $J=15.2$ Hz), 3.86~3.71 (m, 2H), 2.43 (s, 3H); ¹³C NMR (100 MHz, CDCl₃) δ : 165.0, 148.3, 144.8, 133.9, 130.3, 129.8, 129.6, 129.3, 129.2, 128.6, 128.2, 126.9, 120.6, 79.6, 69.2, 21.6; IR (neat) ν : 3435, 2920, 2849, 1691, 1640, 1596, 1488, 1363, 1174, 1162, 1087, 696, 573, 574; HRESIMS calcd for $C_{26}H_{25}NNaO_4S$ [M+Na⁺] 470.1397, found 470.1398.

(E)-N,4-二苯基-4-(丙-2-炔基氧基)-N-对甲苯磺酰基丁-2-烯酰胺(**3q**): 淡黄色油状物. ¹H NMR (400 MHz, CDCl₃) δ : 7.90 (d, $J=8.4$ Hz, 2H), 7.52~7.45 (m, 3H), 7.31 (d, $J=8.0$ Hz, 2H), 7.27~7.23 (m, 5H), 7.11~7.09 (m, 2H), 6.91 (dd, $J=5.2$, 15.2 Hz, 1H), 5.75 (d, $J=16.4$ Hz, 1H), 5.00 (d, $J=4.4$ Hz, 1H), 3.97 (dd, $J=2.4$, 15.6 Hz, 1H), 3.84 (dd, $J=2.4$, 16.0 Hz, 1H), 2.43 (s, 3H), 2.34 (t, $J=2.4$ Hz, 1H); ¹³C NMR (100 MHz, CDCl₃) δ : 164.8, 147.3, 144.9, 137.4, 135.9, 135.8, 130.3, 129.2, 128.6, 127.3, 121.3, 78.9, 74.9, 55.4, 21.6; IR (neat) ν : 3285, 2921, 2853, 1659, 1636, 1591, 1496, 1454, 1364, 1165, 1081, 831; HRESIMS calcd for $C_{26}H_{23}NNaO_4S$ [M+Na⁺] 468.1240, found 468.1241.

(E)-N,4-二苯基-N-甲苯磺酰基-4-[2-(三甲基甲硅烷基)乙氧基]丁-2-烯酰胺(**3r**): 淡黄色油状物. ¹H NMR (400 MHz, CDCl₃) δ : 7.97 (d, $J=8.4$ Hz, 2H), 7.61~7.53 (m, 3H), 7.38 (d, $J=8.4$ Hz, 2H), 7.35~7.29 (m, 5H), 7.17~7.14 (m, 2H), 6.98 (dd, $J=5.2$, 15.2 Hz, 1H), 5.84 (dd, $J=1.2$, 14.8 Hz, 1H), 4.75 (dd, $J=1.2$, 5.2 Hz, 1H), 3.38 (t, $J=7.6$ Hz, 2H), 2.50 (s, 3H), 0.88~0.79 (m, 2H), 0.04 (s, 9H); ¹³C NMR (100 MHz, CDCl₃) δ : 165.0, 149.0, 144.8, 138.9, 136.0, 135.9, 130.3, 129.3, 129.2, 128.5, 126.9, 120.1, 80.4, 66.3, 21.6, 17.9, 1.31; IR (neat) ν : 3445, 2952, 2920, 2851, 1694, 1639, 1488, 1454, 1366, 1248, 1175, 1161, 1088, 837; HRESIMS calcd for $C_{28}H_{33}NNaO_4SSi$ [M+Na⁺] 530.1792, found 530.1787.

(E)-4-(2-氟乙氧基)-N,4-二苯基-N-对甲苯磺酰基丁-2-烯酰胺(**3s**): 淡黄色油状物. ¹H NMR (400 MHz, CDCl₃) δ : 7.90 (d, $J=8.4$ Hz, 2H), 7.52~7.45 (m, 3H), 7.31 (d, $J=8.4$ Hz, 2H), 7.27~7.22 (m, 5H), 7.11~7.08 (m, 2H), 6.91 (dd, $J=5.2$, 15.2 Hz, 1H), 5.77 (dd, $J=1.6$, 15.2 Hz, 1H), 4.77 (dd, $J=1.2$, 5.2 Hz, 1H), 4.43 (t, $J=4.0$

Hz, 1H), 4.31 (t, $J=4.0$ Hz, 1H), 3.50 (t, $J=4.0$ Hz, 1H), 3.43 (t, $J=4.0$ Hz, 1H), 2.43 (s, 3H); ^{13}C NMR (100 MHz, CDCl_3) δ : 164.8, 147.7, 144.9, 138.1, 136.0, 135.8, 130.3, 129.3, 128.6, 126.9, 120.9, 82.6 (d, $J=168.8$ Hz), 80.1, 67.5 (d, $J=19.8$ Hz), 21.6; IR (neat) ν : 3445, 2954, 2922, 1691, 1640, 1596, 1488, 1453, 1362, 1163, 1120, 1088, 912, 814; HRESIMS calcd for $\text{C}_{25}\text{H}_{24}\text{NNaO}_4\text{S}$ [M+Na $^+$] 476.1302, found 476.1309.

(E)-4-(环丙基甲氧基)-N,4-二苯基-N-对甲苯磺酰基丁-2-烯酰胺(**3t**): 淡黄色油状物。 ^1H NMR (400 MHz, CDCl_3) δ : 7.82 (d, $J=8.4$ Hz, 2H), 7.44~7.37 (m, 3H), 7.27~7.14 (m, 7H), 7.02~7.00 (m, 2H), 6.84 (dd, $J=5.2$, 15.2 Hz, 1H), 5.65 (dd, $J=1.6$, 15.2 Hz, 1H), 4.65 (d, $J=5.2$ Hz, 1H), 3.04~2.96 (m, 2H), 2.33 (s, 3H), 0.82~0.72 (m, 1H), 0.33~0.29 (m, 2H), -0.07~-0.11 (m, 2H); ^{13}C NMR (100 MHz, CDCl_3) δ : 164.9, 148.6, 144.8, 138.8, 135.9, 135.8, 130.3, 129.2, 128.5, 126.8, 120.6, 80.0, 73.2, 21.6, 10.3, 2.8, 2.7; IR (neat) ν : 3440, 2920, 2851, 1689, 1639, 1597, 1488, 1364, 1174, 1161, 1087, 1029, 812; HRESIMS calcd for $\text{C}_{27}\text{H}_{27}\text{NNaO}_4\text{S}$ [M+Na $^+$] 484.1553, found 484.1555。

(E)-4-(2-羟基乙氧基)-N,4-二苯基-N-对甲苯磺酰基丁-2-烯酰胺(**3u**): 淡黄色油状物。 ^1H NMR (400 MHz, CDCl_3) δ : 7.89 (d, $J=8.0$ Hz, 2H), 7.53~7.45 (m, 3H), 7.31 (d, $J=8.0$ Hz, 2H), 7.29~7.19 (m, 5H), 7.09~7.06 (m, 2H), 6.90 (dd, $J=5.2$, 15.2 Hz, 1H), 5.72 (dd, $J=1.6$, 15.2 Hz, 1H), 4.73 (dd, $J=1.2$, 5.2 Hz, 1H), 3.55 (t, $J=4.0$ Hz, 2H), 3.32 (t, $J=4.8$ Hz, 2H), 2.42 (s, 3H), 1.98~1.81 (m, 1H); ^{13}C NMR (100 MHz, CDCl_3) δ : 164.7, 147.7, 144.9, 138.2, 135.8, 130.2, 129.3, 129.2, 128.6, 126.8, 120.8, 80.9, 69.9, 61.6, 21.6; IR (neat) ν : 3442, 2912, 2850, 1691, 1682, 1644, 1488, 1361, 1275, 1158, 1087, 1014, 815; HRESIMS calcd for $\text{C}_{25}\text{H}_{25}\text{NNaO}_5\text{S}$ [M+Na $^+$] 474.1346, found 474.1345。

(E)-4-[(5-羟戊基)氨基]-N,4-二苯基-N-对甲苯磺酰基丁-2-烯酰胺(**3v**): 淡黄色油状物。 ^1H NMR (400 MHz, CDCl_3) δ : 7.90 (d, $J=8.4$ Hz, 2H), 7.53~7.45 (m, 3H), 7.26~7.19 (m, 2H), 7.18~7.08 (m, 5H), 7.11~7.08 (m, 2H), 6.90 (dd, $J=5.2$, 15.2 Hz, 1H), 5.74 (dd, $J=0.8$, 15.2 Hz, 1H), 4.66 (d, $J=4.4$ Hz, 1H), 3.57~3.54 (m, 2H), 3.25~3.16 (m, 2H), 2.42 (s, 3H), 1.78~1.56 (m, 1H), 1.50~1.38 (m, 4H), 1.34~1.19 (m, 2H); ^{13}C NMR (100 MHz, CDCl_3) δ : 164.9, 148.6, 144.8, 138.7, 135.9, 130.3, 129.7, 129.5, 129.2, 129.1, 128.5, 128.0, 126.7, 120.4, 80.5, 68.6, 62.5, 32.2, 29.2, 22.1, 21.5; IR (neat) ν : 3439,

2920, 2856, 1634, 1493, 1451, 1356, 1274, 1176, 1165, 1084, 816; HRESIMS calcd for $\text{C}_{28}\text{H}_{31}\text{NNaO}_5\text{S}$ [M+Na $^+$] 516.1815, found 516.1811.

3.2.2 化合物 **3ca** 的合成

室温条件下, 在 10 mL 的反应管中依次加入 0.2 mmol 酰胺 **3c**, 0.04 mmol AIBN, 0.44 mmol 三丁基锡氢和 4 mL 甲苯, 混合均匀后加热回流, 均匀搅拌反应 4 h, 反应结束后减压旋去溶剂, 混合物再经柱层析得到无色油状产物(E)-4-乙氧基-N,4-二苯基丁-2-烯酰胺(**3ca**)^[10]。 ^1H NMR (400 MHz, CDCl_3) δ : 7.91~7.76 (m, 1H), 7.68~7.43 (m, 2H), 7.40~7.20 (m, 7H), 7.19~7.07 (m, 1H), 6.95 (dd, $J=4.8$, 15.0 Hz, 1H), 6.26 (d, $J=8.8$ Hz, 1H), 4.85 (d, $J=4.0$ Hz, 1H), 3.59~3.41 (m, 2H), 1.26~1.18 (m, 3H); ^{13}C NMR (100 MHz, CDCl_3) δ : 165.0, 145.1, 139.2, 138.3, 129.1, 128.9, 128.5, 127.0, 124.4, 123.8, 120.3, 81.3, 63.8, 15.3. HRESIMS calcd for $\text{C}_{18}\text{H}_{19}\text{NNaO}_2$ [M+Na $^+$] 304.1308, found 304.1311.

3.2.3 化合物 **3na** 的合成

室温条件下, 在 10 mL 的反应管中依次加入 0.1 mmol 酰胺 **3n**, 0.5 mL 二氯甲烷(DCM), 0.1 mL H_2O , 0.12 mmol 2,3-二氯-5,6-二氰基苯醌(DDQ), 混合均匀后在室温条件下搅拌反应 2 h. 反应结束后加入 10 mL $\text{Na}_2\text{S}_2\text{O}_3$ 淬灭, 乙醚萃取, 有机相用 NaHCO_3 洗, 饱和 NaCl 洗, MgSO_4 干燥, 过滤, 减压旋去溶剂, 混合物再经柱层析 [V (石油醚)/ V (乙酸乙酯)=3/1], 得到无色油状产物(E)-4-羟基-N,4-二苯基-N-对甲苯磺酰基丁-2-烯酰胺(**3na**). 该化合物是已知化合物, 其谱图数据与文献报道的一致^[4]. ^1H NMR (400 MHz, CDCl_3) δ : 7.88 (d, $J=8.4$ Hz, 2H), 7.52~7.43 (m, 3H), 7.34~7.22 (m, 7H), 7.11 (d, $J=7.6$ Hz, 2H), 6.96 (dd, $J=4.8$, 15.2 Hz, 1H), 5.82 (dd, $J=1.6$, 14.8 Hz, 1H), 5.13 (d, $J=4.0$ Hz, 1H), 2.42 (s, 3H), 2.23~2.06 (m, 1H); ^{13}C NMR (100 MHz, CDCl_3) δ : 165.0, 149.6, 144.8, 140.4, 135.9, 135.7, 130.2, 129.9, 129.7, 129.3, 129.2, 128.6, 128.2, 126.3, 119.8, 73.1, 21.6.

辅助材料(Supporting Information) 化合物 **3a**~**3v**, **3ca** 和 **3na** 的氢谱和碳谱. 这些材料可以免费从本刊网站(<http://sioc-journal.cn/>)上下载.

References

- [1] For selected examples, see: (a) Heravi, M. M.; Zadsirjan, V.; Esfandyari, M.; Lashaki, T. B. *Tetrahedron: Asymmetry* **2017**, *28*, 987. (b) Takayasu, Y.; Ogura, Y.; Towada, R.; Kuwahara, S. *Biosci. Biotechnol. Biochem.* **2016**, *80*, 1459. (c) Srinivas, C.; Kumar, P.; China, R. B.; Jayathirtha, R. V.; Naidu, V.; Ramakrishna, S.; Diwan, P. V. *Bioorg. Med. Chem. Lett.* **2009**, *19*, 5915. (d) Nakamura, H.; Ono, M.; Yamada, T.; Numata, A.; Akita, H.

- Chem. Pharm. Bull.* **2002**, *50*, 303.
- [2] For selected examples, see: (a) Nidhiry, J. E.; Prasad, K. R. *Synlett* **2014**, *25*, 2585.
 (b) Son, S.; Fu, G. C. *J. Am. Chem. Soc.* **2008**, *130*, 2756.
 (c) Cooksey, J. P.; Kocienski, P. J.; Li, Y.; Schunk, S.; Snaddon, T. N. *Org. Biomol. Chem.* **2006**, *4*, 3325.
- [3] For selected examples, see: (a) Sutar, R. L.; Sen, S.; Eivgi, O.; Segalovich, G.; Schapiro, I.; Reany, O.; Lemcoff, N. G. *Chem. Sci.* **2018**, *9*, 1368.
 (b) Ziegler, D. T.; Fu, G. C. *J. Am. Chem. Soc.* **2016**, *138*, 12069.
 (c) Ammann, S. E.; Liu, W.; White, M. C. *Angew. Chem., Int. Ed.* **2016**, *55*, 9571.
 (d) Kikuchi, H.; Hoshikawa, T.; Kurata, S.; Katou, Y.; Oshima, Y. *J. Nat. Prod.* **2016**, *79*, 1259.
 (e) Xu, M.; Ren, T.-T.; Li, C.-Y. *Org. Lett.* **2012**, *14*, 4902.
 (f) Sugiura, M.; Yagi, Y.; Wei, S.-Y.; Nakai, T. *Tetrahedron Lett.* **1998**, *39*, 4351.
 (g) Brooks, P. B.; Marson, C. M. *Tetrahedron* **1998**, *54*, 9613.
 (h) Tiecco, M.; Testaferri, L.; Tingoli, M.; Bagnoli, L.; Santi, C. *J. Chem. Soc., Chem. Commun.* **1993**, 637.
- [4] Jadhav, A. H.; Gawade, S. A.; Vasu, D.; Dateer, R. B.; Liu, R.-S. *Chem. Eur. J.* **2014**, *20*, 1813.
- [5] For recent reviews on ynamide reactivity, see: (a) Li, L.; Tan, T.-D.; Zhang, Y.-Q.; Liu, X.; Ye, L.-W. *Org. Biomol. Chem.* **2017**, *15*, 8483.
 (b) Pan, F.; Shu, C.; Ye, L.-W. *Org. Biomol. Chem.* **2016**, *14*, 9456.
 (c) Evano, G.; Theunissen, C.; Lecomte, M. *Aldrichim. Acta* **2015**, *48*, 59.
 (d) Wang, X.-N.; Yeom, H.-S.; Fang, L.-C.; He, S.; Ma, Z.-X.; Kedrowski, B. L.; Hsung, R. P. *Acc. Chem. Res.* **2014**, *47*, 560.
 (e) DeKorver, K. A.; Li, H.; Lohse, A. G.; Hayashi, R.; Lu, Z.; Zhang, Y.; Hsung, R. P. *Chem. Rev.* **2010**, *110*, 5064.
 (f) Evano, G.; Coste, A.; Jouvin, K. *Angew. Chem., Int. Ed.* **2010**, *49*, 2840.
- [6] For selected examples from our group, see: (a) Li, L.; Zhu, X.-Q.; Zhang, Y.-Q.; Bu, H.-Z.; Yuan, P.; Chen, J.; Su, J.; Deng, X.; Ye, L.-W. *Chem. Sci.* **2019**, *10*, 3213.
 (b) Zhou, B.; Li, L.; Zhu, X.-Q.; Yan, J.-Z.; Guo, Y.-L.; Ye, L.-W. *Angew. Chem., Int. Ed.* **2017**, *56*, 4015.
 (c) Shen, W.-B.; Xiao, X.-Y.; Sun, Q.; Zhou, B.; Zhu, X.-Q.; Yan, J.-Z.; Lu, X.; Ye, L.-W. *Angew. Chem., Int. Ed.* **2017**, *56*, 605.
 (d) Li, L.; Chen, X.-M.; Wang, Z.-S.; Zhou, B.; Liu, X.; Lu, X.; Ye, L.-W. *ACS Catal.* **2017**, *7*, 4004.
 (e) Zhou, B.; Zhang, Y.-Q.; Liu, X.; Ye, L.-W. *Sci. Bull.* **2017**, *62*, 1201.
 (f) Shu, C.; Wang, Y.-H.; Shen, C.-H.; Ruan, P.-P.; Lu, X.; Ye, L.-W. *Org. Lett.* **2016**, *18*, 3254.
 (g) Pan, Y.; Chen, G.-W.; Shen, C.-H.; He, W.; Ye, L.-W. *Org. Chem. Front.* **2016**, *3*, 491.
 (h) Shu, C.; Wang, Y.-H.; Zhou, B.; Li, X.-L.; Ping, Y.-F.; Lu, X.; Ye, L.-W. *J. Am. Chem. Soc.* **2015**, *137*, 9567.
 (i) Zhou, A.-H.; He, Q.; Shu, C.; Yu, Y.-F.; Liu, S.; Zhao, T.; Zhang, W.; Lu, X.; Ye, L.-W. *Chem. Sci.* **2015**, *6*, 1265.
 (j) Li, L.; Shu, C.; Zhou, B.; Yu, Y.-F.; Xiao, X.-Y.; Ye, L.-W. *Chem. Sci.* **2014**, *5*, 4057.
- [7] For reviews on catalytic intermolecular *N*-oxide oxidation of alkynes, see: (a) Zheng, Z.; Wang, Z.; Wang, Y.; Zhang, L. *Chem. Soc. Rev.* **2016**, *45*, 4448.
 (b) Zhou, B.; Li, L.; Ye, L.-W. *Synlett* **2016**, 493.
 (c) Yeom, H.-S.; Shin, S. *Acc. Chem. Res.* **2014**, *47*, 966.
- [8] For recent representative examples, see: (a) Cai, J.; Wang, X.; Qian, Y.; Qiu, L.; Hu, W.; Xu, X. *Org. Lett.* **2019**, *21*, 369.
 (b) Wei, H.; Bao, M.; Dong, K.; Qiu, L.; Wu, B.; Hu, W.; Xu, X. *Angew. Chem., Int. Ed.* **2018**, *57*, 17200.
 (c) Yang, J.-M.; Zhao, Y.-T.; Li, Z.-Q.; Gu, X.-S.; Zhu, S.-F.; Zhou, Q.-L. *ACS Catal.* **2018**, *8*, 7351.
 (d) Zhang, Y.-Q.; Zhu, X.-Q.; Chen, Y.-B.; Tan, T.-D.; Yang, M.-Y.; Ye, L.-W. *Org. Lett.* **2018**, *20*, 7721.
 (e) Zhao, J.; Xu, W.; Xie, X.; Sun, N.; Li, X.; Liu, Y. *Org. Lett.* **2018**, *20*, 5461.
 (f) Li, J.; Xing, H.-W.; Yang, F.; Chen, Z.-S.; Ji, K. *Org. Lett.* **2018**, *20*, 4622.
 (g) Hamada, N.; Yamaguchi, A.; Inuki, S.; Oishi, S.; Ohno, H. *Org. Lett.* **2018**, *20*, 4401.
 (h) Lin, M.; Zhu, L.; Xia, J.; Yu, Y.; Chen, J.; Mao, Z.; Huang, X. *Adv. Synth. Catal.* **2018**, *360*, 2280.
 (i) Xu, Z.; Chen, H.; Wang, Z.; Ying, A.; Zhang, L. *J. Am. Chem. Soc.* **2016**, *138*, 5515.
 (j) Zeng, X.; Liu, S.; Shi, Z.; Liu, G.; Xu, B. *Angew. Chem., Int. Ed.* **2016**, *55*, 10032.
 (k) Zhang, Y.; Xue, Y.; Li, G.; Yuan, H.; Luo, T. *Chem. Sci.* **2016**, *7*, 5530.
 (l) Wang, Y.; Zheng, Z.; Zhang, L. *J. Am. Chem. Soc.* **2015**, *137*, 5316.
 (m) Chen, H.; Zhang, L. *Angew. Chem., Int. Ed.* **2015**, *54*, 11775.
 (n) Ji, K.; Zheng, Z.; Wang, Z.; Zhang, L. *Angew. Chem., Int. Ed.* **2015**, *54*, 1245.
 (o) Chen, M.; Chen, Y.; Sun, N.; Zhao, J.; Liu, Y.; Li, Y. *Angew. Chem., Int. Ed.* **2015**, *54*, 1200.
 (p) Zheng, Z.; Zhang, L. *Org. Chem. Front.* **2015**, *2*, 1556.
 (q) Ji, K.; Liu, X.; Du, B.; Yang, F.; Gao, J. *Chem. Commun.* **2015**, *51*, 10318.
 (r) Li, L.; Zhou, B.; Ye, L.-W. *Chin. J. Org. Chem.* **2015**, *35*, 655 (in Chinese).
 (李龙, 周波, 叶龙武, 有机化学, **2015**, *35*, 655.)
 (s) Pan, F.; Liu, S.; Shu, C.; Lin, R.-K.; Yu, Y.-F.; Zhou, J.-M.; Ye, L.-W. *Chem. Commun.* **2014**, *50*, 10726.
 (t) Shu, C.; Li, L.; Xiao, X.-Y.; Yu, Y.-F.; Ping, Y.-F.; Zhou, J.-M.; Ye, L.-W. *Chem. Commun.* **2014**, *50*, 8689.
- [9] For examples on the ynamide oxidation by non-noble metal catalysis from our group, see: (a) Zhu, J.; Ren, X.; Tang, F.; Pan, F.; Ye, L.-W. *Chin. J. Org. Chem.* **2019**, *39*, 1102 (in Chinese).
 (朱建荣, 任小娟, 唐飞宇, 潘飞, 叶龙武, 有机化学, **2019**, *39*, 1102.)
 (b) Zhu, B.-H.; Wang, C.-M.; Su, H.-Y.; Ye, L.-W. *Chin. J. Chem.* **2019**, *37*, 58.
 (c) Wang, C.-M.; Qi, L.-J.; Sun, Q.; Zhou, B.; Zhang, Z.-X.; Shi, Z.-F.; Lin, S.-C.; Lu, X.; Gong, L.; Ye, L.-W. *Green Chem.* **2018**, *20*, 3271.
 (d) Shen, W.-B.; Sun, Q.; Li, L.; Liu, X.; Zhou, B.; Yan, J.-Z.; Lu, X.; Ye, L.-W. *Nat. Commun.* **2017**, *8*, 1748.
 (e) Pan, F.; Li, X.-L.; Chen, X.-M.; Shu, C.; Ruan, P.-P.; Shen, C.-H.; Lu, X.; Ye, L.-W. *ACS Catal.* **2016**, *6*, 6055.
 (f) Ruan, P.-P.; Shen, C.-H.; Li, L.; Liu, C.-Y.; Ye, L.-W. *Org. Chem. Front.* **2016**, *3*, 989.
 (g) Li, L.; Zhou, B.; Wang, Y.-H.; Shu, C.; Pan, Y.-F.; Lu, X.; Ye, L.-W. *Angew. Chem., Int. Ed.* **2015**, *54*, 8245.
- [10] Wang, G.; Huang, Z.; Negishi, E.-I. *Org. Lett.* **2008**, *10*, 3223.

(Lu, Y.)